

محاسبه ضریب بهرهوری و نرخ پیشروی دستگاه حفاری تمام مقطع TBM در سنگ‌های سخت مطالعه موردی: قطعه ۸ تونل انتقال آب قمرود

حسین شریعت علوی^{*}، رضا کاکایی^۲، مهدی زورآبادی^۳، بهزاد علیزاده صوری^۴، مهدی عبدالله^۵

- ۱- کارشناس ارشد استخراج معدن، شرکت سایبر، شماره تماس: ۸۶۱۳۵۲۵۸۹۳۳ - ۸۶۶۲۵۸۸۹۳۹۵
۹- دانشیار دانشگاه صنعتی شاهروود، دانشکده مهندسی معدن، نفت و ژئوفیزیک
۶- کارشناس ارشد مکانیک سنگ، شرکت علوم زمین پارس، E-mail: mehdi_zoorabadi@yahoo.com
۴- دانشجوی دکترای اکتشاف معدن، دانشگاه آزاد اسلامی واحد علوم و تحقیقات E-mail: beh.alizadeh@gmail.com
۲- کارشناس عمران، شرکت سایبر E-mail: me_abdollahi@yahoo.com

(دریافت ۸۷ فروردین ۸۳۸۸، پذیرش ۲۹ آذر ۸۳۸۸)

چکیده

تونل قمرود به طول کلی ۳۵/۷ کیلومتر از جمله طرح‌های بزرگ ملی است. برای حفاری قطعه ۸ آن به طول ۳۸۸+۸۸ کیلومتر دستگاه TBM از نوع EPB انتخاب شده است. برای پیش‌بینی نرخ پیشروی و به تبع آن زمان تکمیل حفاری و هزینه‌ها، تخمین ضریب بهرهوری بسیار حائز اهمیت است. ضریب بهرهوری به صورت زمان خالص حفاری به کل زمان در دسترس در هر واحد زمین‌شناسی تعریف می‌شود. این ضریب تابعی از شرایط زمین، نوع ماشین، تأسیسات پشتیبانی، مدیریت پروژه و در نهایت تجربه کارکنان است. از مهمترین روش‌هایی که در جهان به منظور پیش‌بینی ضریب بهرهوری استفاده می‌شود روش‌های NTH و CSM است. در این مقاله مدلی برای رسیدن به ضرایب بهرهوری که به ضرایب بهرهوری ایجاد شده در عمل نزدیک‌تر باشد ارائه شده است. سپس با استفاده از این ۳ روش ضرایب بهرهوری در واحدهای مختلف زمین‌شناسی مسیر تونل پیش‌بینی شده و با داده‌های واقعی در ۴۵۷۴ متر که حفاری آن انجام شده مورد مقایسه قرار گرفته و زمان اتمام حفاری تونل نیز پیش‌بینی شده است. هدف از این مقاله ارائه مدلی برای تخمین دقیق‌تر ضرایب بهرهوری و در نتیجه تصمیم گیری صحیح‌تر در مورد زمانبندی پروژه و پیش‌بینی درآمد و هزینه در پروژه‌های حفاری با TBM است.

کلمات کلیدی

تونل قمرود، حفاری مکانیزه، بهرهوری، CSM، NTH، مدل جدید

* نویسنده مسئول و عهدهدار مکاتبات

- مقدمه 8

منطقه اجرای طرح بخشی از حوزه آبریز سرشاخه های دز واقع در استان لرستان و بخشی از حوزه قمرود واقع در استان های اصفهان و مرکزی است. از دیدگاه جغرافیایی گستره طرح در مختصات جغرافیایی $16^{\circ}, 46^{\circ}$ تا $26^{\circ}, 46^{\circ}$ طول شرقی و $89^{\circ}, 66^{\circ}$ تا $15^{\circ}, 66^{\circ}$ عرض شمالی واقع شده است. محل احداث توپل در استان لرستان، در فاصله تقریباً 98 کیلومتری جنوب شرقی شهرستان الیگودرز واقع شده است [1].

3- شرایط زمین‌شناسی عمومی مسیر تونل

مسیر تونل انتقال آب انوج به قمرود از دیدگاه تقسیمات زمین‌شناسی ایران در ناحیه دگرگونی سنتندج- سیرجان واقع شده است. این ناحیه در شمال شرقی رو راندگی اصلی زاگرس قرار گرفته است، لیکن از نظر تاریخچه ساختاری به ایران مرکزی شباهت دارد ولی از سوی دیگر عدم فعالیت آتشفسانی سنوزوئیک و تشابه روند کلی این منطقه با زاگرس آنرا از ایران مرکزی تمایز می‌کند. بر اساس اطلاعات زمین‌شناسی، مسیر تونل از پیچیدگی‌ها و تغییرات زیادی برخوردار است به طوریکه در این مسیر، یا زمین‌های نرم آبرفتی که شامل خاک ریزدانه اشیاع که بخش اعظم آبرفت از نوع ماسه سیلتی رس‌دار تا سیلت ماسه‌ای رس‌دار است تا سنگ‌های نرم مانند شیل و شیست و اسلیت‌های زغالی و بالاخره سنگ‌های سخت‌تر مانند آهک و دولومیت‌های دگرگون شده و بعضًا سنگ‌های کوارتزیتی و متاولکانیک‌ها برخورد می‌شود. در تمام طول مسیر نیز خط پروژه در زیر سطح آب زیرزمینی قرار دارد که این خود بر پیچیدگی مسائلی افزایید. مقطع زمین‌شناسی تونل در شکل ۱ نشان داده شده است [۱].

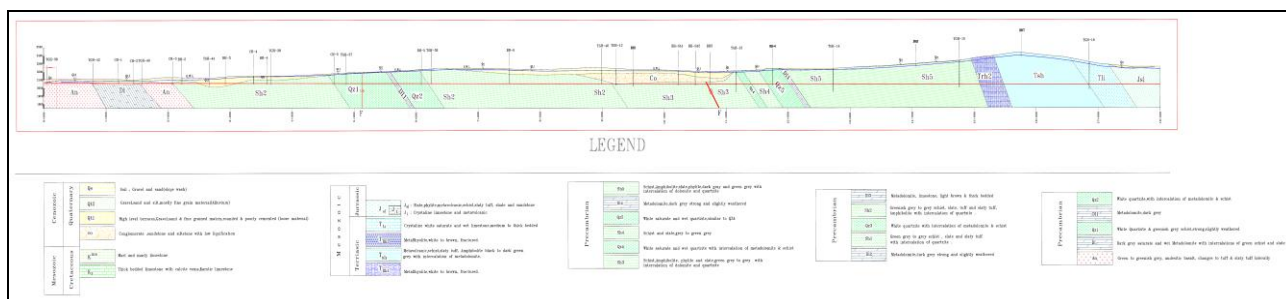
۴- مقایسه مашینهای حفاری مکانیزه

Double Shield TBM , EPB Single Shield TBM

مقایسه دستگاه‌های TBM تک سپره^۱ نوع EPB و دو سپره^۲ از لحاظ عملکرد در ادامه آورده شده است.

تعداد برش دهنده‌های مورد نیاز، هزینه‌های آزمایشگاهی، هزینه‌های سرمایه‌ای و عملیاتی همه از دوره ساخت پرورژه و دوره ساخت پرورژه از ضریب بهره‌وری و نرخ نفوذ تأثیر می‌پذیرد که تخمین این دو بسیار مشکل است. مقادیر پایین بهره‌وری در اثر حفاری در شبیب، قوس‌ها و شرایط نامساعد زمین، مدیریت ضعیف و خرابی متعدد ماشین حاصل می‌شوند. از طرف دیگر مقادیر بالای بهره‌وری در تونل‌های نسبتاً مستقیم و دارای شبیب کم که با مدیریت، تعمیرات و شرایط مساعد زمین همراه می‌شود بدست می‌آید. مواردی که موجب تأخیر در روند حفاری می‌شوند عبارتند از: زمان تعویض برش دهنده، تعمیرات زمان‌بندی شده و نشده، جلو راندن ماشین، توقف عملیات به‌خاطر نصب نگهداری یا مشکلات ترابری، قطع برق، مشکلات ناشی از تراوش آب، تعویض شیفت و زمان نهار، تأخیرهای ناشی از کارگران و مسائل متفرقه دیگر. تمام این پارامترها باید برای تعیین واقعی بهره‌وری منظور شوند. از مهم‌ترین روش‌هایی که در جهان بهمنظور پیش‌بینی ضرایب NTH بهره‌وری دستگاه‌های TBM استفاده می‌شود روش‌های CSM و NTH است. در این مقاله ابتدا میزان تأخیرها با استفاده از روش‌های CSM و NTH توضیح داده شده و مدلی برای رسیدن به ضرایب بهره‌وری واقعی تر ارائه گردیده است. سپس ضریب بهره‌وری در هر یک از واحدهای زمین‌شناسی مسیر تونل با استفاده از این سه روش و نیز زمان اتمام حفاری با در نظر گرفتن تأخیرهای هر یک از روش‌ها محاسبه شده است. در نهایت ضرایب بهره‌وری محاسبه شده با سه روش، با ضرایب بهره‌وری واقعی تا کیلومتر 4248 مسیر تونل که شامل 18 واحد زمین‌شناسی است مقایسه گردیده است.

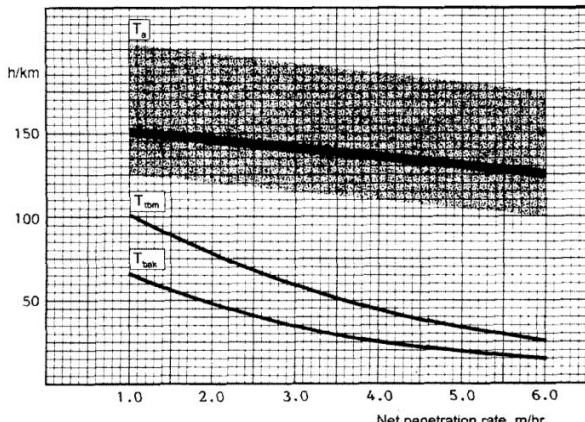
2- موقعیت جغرافیا یک توپل



شکا، 8: مقطع زمین‌شناسی، قطعات 8 و 2 تونا، انتقا، آب دز - قم و د [8]

تعمیر و نگهداری و سرویس‌دهی TBM (T_{TBM}) و تجهیزات back-up (T_{back}): زمان مصرف شده برای تعمیر و نگهداری که به نرخ نفوذ بستگی دارد. این تأخیرات طبق شکل 9 بدست می‌آید.

متفرقه (T_a): متفرقه شامل نگهداری معمولی سنگ در شرایط خوب سنگ، زمان مورد انتظار برای حمل و نقل، ریل گذاری و جاده، نقشه‌برداری یا حرکت دادن لیزر، آب، کابل الکتریکی، تهویه، تمیز کردن و چیزهای دیگر مثل تعویض شیفت وغیره است. T_a بر حسب ساعت بر کیلومتر در شکل 9 نشان داده شده است.



شکل 2- تعمیر و نگهداری و تأخیرهای متفرقه به عنوان تابعی از نرخ نفوذ خالص [4]

بهرهوری ماشین به صورت رابطه 1 تعریف می‌شود [2] و [3]:

$$u = \frac{100.T_b}{T_b + T_t + T_c + T_{tbm} + T_{bak} + T_a} \quad (1)$$

$$T_b = \frac{1000}{I} \quad (9)$$

$$T_t = \frac{1000.t_{tak}}{60J_s} \quad (6)$$

$$T_c = \frac{1000.t_c}{60.H_h.I} \quad (4)$$

که در آن

I نرخ نفوذ خالص (m/hr)

t_{tak} طول کورس (به طور نمونه 1/2 تا 9 متر)

t_c زمان گریپر زدن مجدد دستگاه (به طور نمونه 4 تا 2 دقیقه)

t_b زمان تعویض ابزار برشی (به طور نمونه 42 تا 38 دقیقه)

H_h متوسط عمر حلقه ابزار برشی (hr/cutter)

4-8- ماشین‌های حفر تونل تک سپره از نوع EPB دستگاه تک سپره EPB نیز نوعی ماشین single با ترکیبی بسیار پیچیده‌تر است زیرا توانایی حفر در سنگ نرم و زمین نرم و آبرفتی و سنگ سخت را دارد. در این نوع ماشین، نیروی عکس العمل لازم برای جلو بردن کاترهد از تکیه دادن جک‌های تراست به پوشش تونل (سگمنت‌های نصب شده در آن) تأمین می‌شود. بنابراین سیکل کاری این ماشین، ناپیوسته است، یعنی همزمان با حفاری نمی‌تواند سگمنت‌گذاری نماید.

4-2- ماشین‌های حفر تونل دو سپره در این نوع ماشین در صورتی که زمین مقاومت مناسب را برای ایجاد رانش با کمک گریپر دارا باشد، ماشین می‌تواند به حفاری و سگمنت‌گذاری مستقل و همزمان بپردازد (سیکل کاری پیوسته) و به همین دلیل سرعت حفاری ماشین‌های دو سپره به طور تئوریک دو برابر تک سپره است. در زمین‌های ریزشی و خرد شده که امکان گریپر زدن وجود ندارد، ماشین دو سپره دقیقاً همانند یک ماشین تک سپره پیشروی می‌کند؛ یعنی عمل حفاری با کمک ایجاد نیروی رانش توسط جک‌های انتهای سپر و سپس نصب سگمنت پس از جمع شدن بازوها و جک‌های هیدرولیکی انجام می‌شود.

5- روش‌های موجود برای پیش‌بینی ضریب بهرهوری و مدل ارائه شده

برای محاسبه ضرایب بهرهوری در واحدهای مختلف زمین‌شناسی قطعه 1 مسیر تونل از روش‌های NTH، CSM و مدل جدید ارائه شده استفاده شده که در ادامه به بحث در مورد آنها پرداخته شده است.

5-1- روش NTH

بهرهوری ماشین، مدت زمان حفاری خالص هست که بر حسب درصدی از مدت زمان کلی تونل سازی است. مدت زمان کلی تونل سازی عبارتست از [4]:

زمان حفاری (T_b): که به نرخ نفوذ بستگی دارد.

زمان گریپر زدن مجدد دستگاه (T_t): که بستگی به طول کورس دارد و معمولاً برای 1/2 تا 9 متر میانگین 4 تا 2 دقیقه است. این تأخیر در دستگاه‌های Double Shield مطرح است.

زمان تعویض ابزار برشی و بازدید (T_c): که بستگی به عمر حلقه ابزار برشی و نرخ نفوذ خالص دارد. زمان مورد نیاز برای تعویض ابزار برشی ممکن است از 38 تا 68 دقیقه به ازای هر ابزار برشی تغییر کند.

برای مقادیر ناچیز تراوosh آب، تأخیر وابسته به آن حدود 8/8823 که تراوosh آب حدود 4-6 متر مکعب بر دقیقه در یک متر تونل است، تأخیر ناشی از وجود آب حدود 8/852 که عملیات تزریق نیز صورت می‌گیرد، این تأخیر تا 9 ساعت بر متر حفاری شده از تونل می‌رسد.

تأخیرات ناشی از سیستم ترابری می‌تواند با توجه به شبیب تونل، جهت حفاری و سیستم ترابری مورد استفاده تعیین گردد در جدول 1 برخی راهنمایی‌های کلی در این مورد آورده شده است.

جدول 8: تأخیرات ناشی از سیستم ترابری [7]

تأخر	سیستم ترابری	توصیف تونل
8/112	کامیون	آغاز حفاری مرحله تولید
8/841	نوار نقاله	1- تا - درجه رو به پایین
8/822	واگن و ریل	- تا + درجه
8/841	نوار نقاله	+ تا + درجه رو به بالا

$$\text{Utility Delays(hr/m of tunnel)} = 0/030 + 0/0013G \quad (5)$$

تأخیرات ناشی از خدمات رسانی نیز به شبیب تونل بستگی دارد و به صورت رابطه (5) تعیین می‌شود.

G شبیب تونل واحد آن درجه است. تأخیرات ناشی از نصب پوشش موقت تابعی از کیفیت توده سنگ است. در روش CSM از رده بندی RMR برای تعیین تأخیر ناشی از نصب نگهداری استفاده شده که در جدول 9 آورده شده است.

جدول 2: تأخیرات ناشی از نصب پوشش [7]

تأخر (ساعت بر متر حفاری شده از تونل)	RMR
8	I
8	II
8	III
8/895	IV
8/846	V

تأخیرات کارگری مثلًا تأخیر ناشی از تعویض شیفت و زمان نهار نیز باید ارزیابی گردد. CSM منظور کردن حدود 9٪ از کل زمان شیفت را برای این تأخیرها پیشنهاد می‌کند.

5-3- مدل ارائه شده جدید

با توجه به اینکه روش CSM تمامی تأخیرهای متفرقه را با دقت بیشتری شامل می‌شود بنابراین با بکار بردن ترکیبی از تأخیرهای روش NTH و CSM با هم، یعنی تأخیرهای روش

5-2- روش CSM

این روش تأخیرهای پیش آمده در حین حفاری را به صورت زیر در نظر می‌گیرد [4].

زمان مورد نیاز جهت تعویض برش‌دهنده می‌تواند به صورت زمانی از شیفت بیان گردد. برای سنگ‌های غیر ساینده این زمان حدود 6٪ شیفت و برای سنگ‌های خیلی ساینده حدود 98٪ است. تأخیر ناشی از تعویض برش‌دهنده می‌تواند برای یک متر حفاری نیز بیان شود. در سنگ‌های غیر ساینده این زمان 8/89-8/82 ساعت بر متر (hr/m) و در سنگ‌های خیلی ساینده 8/9 ساعت بر متر (hr/m) است.

$$f_2 = 1.23 / R \quad (2)$$

از فاکتور اصلاحی f_2 که در عمر نرمال برش‌دهنده ضرب می‌شود، جهت بدست آوردن عمر برش‌دهنده در مناطق منحنی شکل استفاده می‌کند.

$$f_3 = (hr / m) = 0.030(hr / m) + 409(m.hr) / R^2 \quad (3)$$

فاکتور f_3 برای منظور کردن تأخیرهای ناشی از جلو راندن ماشین، توسط CSM به صورت زیر پیشنهاد شده است. این تأخیر نیز در مورد دستگاه‌های Double Shield مطرح است.

CSM برای منظور کردن تعیرات خارج از برنامه زمان بندی، فاکتور تصحیح f_4 را به صورت زیر معرفی می‌کند. f_4 برابر یک ساعت بازای 1 ساعت حفاری با ماشین در مرحله آغازین حفاری (کارگران بدون تجربه) f_4 برابر 8/694 ساعت بازای 1 ساعت حفاری ماشین بعد از آغاز حفاری (کسب تجربه) تعییرات زمان بندی شده، بررسی کاترهد و روغن کاری، حدود 8/834 ساعت تأخیر در 1 ساعت حفاری با TBM ایجاد می‌کند.

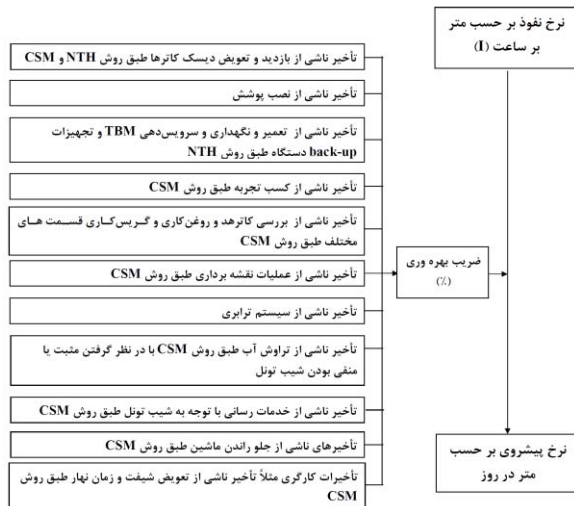
تأخیرات ناشی از عملیات نقشه برداری برای تونل‌های مستقیم، 8/8866 ساعت بر متر حفاری شده از تونل است.

$$\text{SurveyDelay}(hr / m) = 0.0033 + 192 / R^2 \quad (4)$$

برای قوس‌ها تأخیر ناشی از نقشه برداری از رابطه (4) محاسبه می‌شود.

R شعاع قوس به متر است.

مدل در نظر گرفته شده بین منظور بهصورت فلوچارتی در شکل 6 ارائه شده است.



شکل 3: فلوچارت کلی مدل جدید ارائه شده

5-4- معایب روشهای NTH و CSM بهمنظور تخمین ضریب بهرهوری

روش NTH تأخیر ناشی از نصب سیستم نگهداری را در قالب تأخیرهای متفرقه که بسیار پایین تر از آنچه در واقعیت است در نظر می‌گیرد ضمن اینکه توضیح دقیقی در مورد تأخیر ناشی از نصب سیستم نگهداری و مقدار آن در این روشن توضیح نشده است. تأخیرهای متفرقه‌ای که در روشن CSM توضیح داده شده مقدار هر یک از آنها در روشن NTH مشخص نیست و تأخیرات متفرقه کلی در نظر گرفته شده و مقدار آن بسیار پایین تر از واقعیت است. بمعبارتی این روشن راندمان و نرخ پیشروی بالایی را پیش‌بینی می‌کند. لازم به ذکر است که در تخمین ضریب بهرهوری با استفاده از روشن NTH مقدار تأخیر ناشی از نصب سگمنت 98 تا 92 دقیقه بازای هر سیکل حفاری که در عمل ثبت شده در نظر گرفته شده است.

روشن CSM نیز برخی از تأخیرها از جمله تعمیرات دستگاه TBM و قسمت Back Up آنرا در نظر نمی‌گیرد که زمان قابل توجهی را در پروژه‌های حفاری با TBM به خود اختصاص می‌دهد و ضمناً زمان در نظر گرفته شده بهمنظور نصب سیستم نگهداری (سگمنت) با استفاده از این روشن در مورد دستگاه‌های تک سپره که سیکل کاری آنها بهصورت ناپیوسته است بسیار پایین است در صورتی که در واقعیت زمانی چندین برابر زمان در نظر گرفته شده صرف انجام این کار می‌شود.

NTH و در نظر گرفتن تأخیرهای متفرقه با استفاده از روش CSM، مدلی جدید برای محاسبه ضرایب بهرهوری در واحدهای مختلف زمین‌شناسی مسیر تونل ارائه شده است.

5-3- تأخیرهای مدل

تأخر ناشی از بازدید و تعویض دیسک کاترها طبق روشن CSM و NTH

تأخر ناشی از تعمیر و نگهداری و سرویس‌دهی TBM و تجهیزات back-up دستگاه طبق شکل 9 در روشن NTH تأخیر ناشی از نصب پوشش (سگمنت) که در این رابطه هیچیک از روشهای NTH و CSM مقدار صحیحی در نظر نمی‌گیرد زیرا روشن NTH این تأخیر را لاحاظ نکرده است و روشن CSM نیز در ماکریم مقدار 8/846 ساعت بر متر حفاری شده از تونل در نظر می‌گیرد یعنی برای هر سیکل پیشروی در قطعه 1 تونل که 1/6 متر است تنها 6/62 دقیقه در نظر می‌گیرد این در حالیست که بازای نصب کامل هر رینگ سگمنت زمانی در حدود 98 تا 92 دقیقه صرف می‌شود. البته در دستگاه‌های Double Shield هنگامی که دستگاه بهصورت پیوسته حفاری می‌کند زمان این تأخیر صفر در نظر گرفته می‌شود.

تأخر ناشی از کسب تجربه طبق روشن CSM که این تأخیر شامل کسب تجربه لازم در هر زون زمین‌شناسی و همچنین کسب تجربه در مورد تعمیر و نگهداری و سرویس‌دهی TBM و تجهیزات back-up آن و بررسی کاترها است.

تأخر ناشی از بررسی کاترها و روغن‌کاری و گریس‌کاری CSM قسمتهای مختلف طبق روشن

تأخر ناشی از عملیات نقشه برداری طبق روشن CSM تأخیر ناشی از سیستم ترابری تا قبل از نصب سوئیچ کالیفرنیا 8/822 ساعت بر متر حفاری شده از تونل و بعد از نصب سوئیچ کالیفرنیا 8/862 ساعت بر متر حفاری شده از تونل لاحاظ می‌شود.

تأخر ناشی از تراوش آب طبق روشن CSM با در نظر گرفتن مثبت یا منفی بودن شیب تونل

تأخر ناشی از خدمات رسانی با توجه به شیب تونل طبق CSM روش

تأخرهای ناشی از جلو راندن ماشین که در مورد دستگاه‌های Double Shield مطرح است.

تأخرات کارگری مثلاً تأخیر ناشی از تعویض شیفت و زمان نهار طبق روشن CSM

جدول ۳: واحدهای زمین‌شناسی مهندسی مسیر تونل (قطعه ۸)

[8]

متراز (m)	نام واحد	توده سنگ‌های مسیر تونل
8 -628	An	آندرزیت
628 -588	GSch1	شیست متوسط با سنگ آهک دولومیتی دگرگون شده
588 -616	GSch2	شیست ضعیف با سنگ آهک دولومیتی دگرگون شده
616 -1688	all	آبرفت (ماسه سیلتی رس دار تا سیلت ماسه ای رس دار)
1688 -9688	GSch3	شیست، متاکوارتزیت، متاگرانودیبوریت و متادیبوریت همراه با زون‌های خردشده نسبتاً زیاد
9688 -6188	all	آبرفت (ماسه سیلتی رس دار تا سیلت ماسه ای رس دار)
6188 -6928	GSch4	شیست دارای زون‌های شکسته و خرد شده به همراه متاکوارتزیت مقاوم
6928 -6288	GSch5	شیست دارای زون‌های شکسته و خرد شده به همراه متاکوارتزیت مقاوم
6288 -6328	GSch4	شیست دارای زون‌های شکسته و خرد شده به همراه متاکوارتزیت مقاوم
6328 -4328	MQ	متاکوارتزیت مقاوم با میان لایه‌های شیست با مقاومت متوسط
4328 -3688	ML	سنگ آهک متامورفیک و متادیبوریت با کیفیت بالا به همراه میان لایه‌های شیستی
3688 -3488	GSch6	شیست با کیفیت متوسط
3488 -4428	GSch7	شیست با کیفیت پایین و بسیار خرد شده شبیه به آبرفت
4428 -5488	GSch8	شیست با کیفیت متوسط به بالا
5488 -6288	Sh3	شیست و اسلیت
6288 -6688	QLa	گلسنگ، ماسه سنگ و کلنگلومرا
6688 -18388	Shc	شیست و اسلیت زغال‌دار
18388 -18553	Sh3	شیست و اسلیت
18553 -11844	MDL4	متadolomیت همراه با آهک‌های دولومیتی
11844 -11611	AS1	آمفیبولیت شیست

که از شکل ۳ تعیین می‌شود، مربوط به سنگی با K_s است و برای مقادیر دیگر DRI $=49$ DRI $=49$ فاکتور تصحیح دیگری به نام K_{DRI} استفاده کرد. برای تعیین K_{DRI} می‌توان از نمودار شکل ۳ استفاده کرد [2].

۵-۵-مزایای مدل جدید

مدل ارائه شده جدید که بصورت ترکیبی است تأخیرات ناشی از نصب سیستم نگهداری را بین ۹۸ تا ۹۲ دقیقه بازای هر سیکل حفاری با توجه به داده‌های ثبت شده در نظر می‌گیرد که این تأخیر در دستگاه‌های دو سپره هنگامی که شرایط زمین مساعد است و دستگاه به صورت پیوسته حفاری می‌کند صفر در نظر گرفته می‌شود. تأخیرات متفرقه‌ای که در روش CSM به طور کامل در نظر گرفته شده‌اند در این مدل لحاظ شده است. تعمیرات دستگاه TBM و قسمت Back Up آن نیز در این روش لحاظ شده‌اند. تأخیر ناشی از سیستم تراپری نیز با لحاظ کردن نصب و یا عدم نصب سوئیچ کالیفرنیا در نظر گرفته شده است. تأخیر ناشی از مثبت یا منفی بودن شبیه تونل نیز در این روش به حساب آورده شده است.

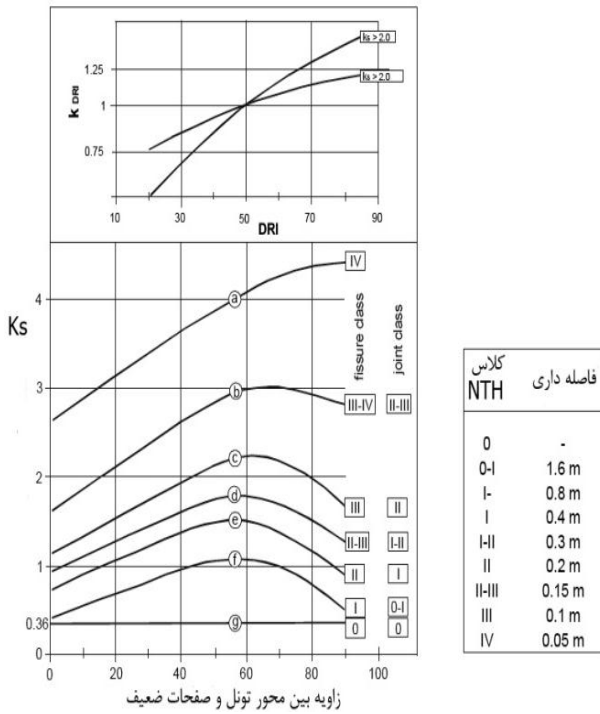
۶- تخمین ضریب بهره‌وری برای واحدهای

زمین‌شناسی مسیر تونل
واحدهای زمین‌شناسی مهندسی مسیر تونل انتقال آب قمرود (قطعه ۱) در جدول ۶ آورده شده است.
به‌منظور تخمین ضریب بهره‌وری ابتدا بایستی مقدار نرخ نفوذ در هر یک از واحدهای زمین‌شناسی مسیر تونل پیش‌بینی شده که بدین منظور از روش NTH که بر اساس ۹۶۸ کیلومتر تونل‌سازی است استفاده شده است.

۶-۱-روش NTH برای محاسبه نرخ نفوذ

این روش به‌طور خلاصه در قالب فلوچارتی در شکل ۴ و پارامترهای مربوطه نیز در ادامه آورده شده است.
^۳ DRI: شاخص نرخ حفاری است که برای تعدادی سنگ در شکل ۲ نشان داده شده است.
علاوه بر شکل ۲ روش آزمایشگاهی نیز برای تعیین DRI دقیق‌تر موجود است.

فاکتور شکستگی^۴ (K_s): اثر کلاس شکستگی و زاویه بین محور تونل و صفحات ضعیف را با هم ترکیب می‌کند که در شکل ۳ نشان داده شده است. فاکتور K_s در فرمولی برای محاسبه نرخ نفوذ استفاده می‌شود [4].



شکل 6: درجه بندی فاکتور درزه‌داری k_S به عنوان یکتابع از
فاصله‌داری درزه‌ها و شکاف‌ها، تغذیل k_S برای دیگر مقدارهای DRI
نسبت به 49 است [9]

جدول 4: نیروی عمودی مجاز روی ابزار برشی [4]

قطر ابزار برشی in mm	ماکزیمم نیروی عمودی روی ابزار برشی (KN)
14	148-138
12/2	158-988
14	998-948
16	958-688

برای قطرهای ابزار برشی متفاوت از 456 mm و میانگین فاصله ابزار های برشی متفاوت از 48mm نیروی عمودی معادل با استفاده از رابطه 18 تعیین می شود[4].

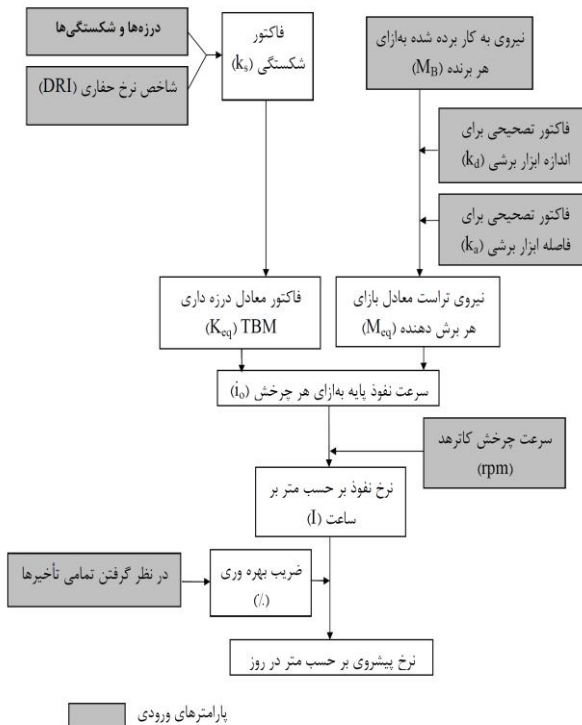
$$M_{egy} = M_B \times K_d \times K_q \quad (KN / Cutter) \quad (18)$$

K_d فاکتور تصحیح قطر ابزار برشی، K_a فاکتور تصحیح فاصله بین ابزار برشی است.

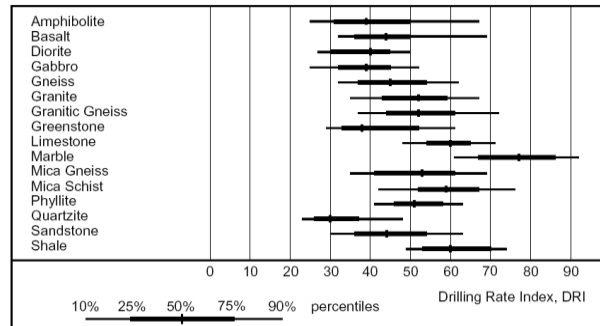
برای بهدست آوردن فاکتورهای K_d و K_a می‌توان از روابط 11 و 19 استفاده کرد.

$$K_d = 2.35 - 0.0028D_c \quad (11)$$

$$K_a = 1.35 - 0.005S_c \quad (19)$$



شکل 4: فلوچارت کلی روش NTH (After Bruland, 1998)



شکل ۵: DRI ثبت شده برای انواع مختلف سنگ [5]

فاکتور شکستگی معادل K_{eqv}^5 : مشخصات توده سنگ را به عنوان فاکتور شکستگی K_s تنظیم شده برای مقدار DRI بیان می‌کند [4].

$$K_{eqv} = K_s \times K_{DRI} \quad (6)$$

نیروی عمودی (تراست) (M_B): نیروی عمودی ناچالص TBM که بر روی تعداد ابزار برشی تقسیم می‌شود. بنابراین محاسبه عملی نیروی تراست در این مدل، به معنی میانگین نیروی عمودی همه ابزار برشی روی کاترهد (KN/cutter) است [4].

حداکثر میانگین نیروی عمودی ناچالص توصیه شده برای TBM‌ها با قطرهای مختلف ابزار برشی در جدول 4 نشان داده شده است.

در واحدهای آبرفتی میزان نفوذ واقعی حدود 98 تا 28 میلی‌متر در دقیقه است. در این نوع زمین‌ها بهدلیل تأخیرات ناشی از محدود شدن سرعت حفاری (از آن‌جایی که در آبرفت‌ها، TBM به صورت روش بسته⁹ یا نیمه بسته¹⁰ کار می‌کند) و بهمنظور کاهش میزان گشتاور¹¹ و جریان برق مصرفی، میزان نیروی عمودی کاهش می‌یابد و در مجموع پیشروی نیز کاهش می‌یابد[5].

به عبارتی با در نظر گرفتن میانگین این مقدار یعنی 62 میلی‌متر در دقیقه، آن‌گاه نرخ نفوذ معادل 9/1 متر بر ساعت می‌شود و با در نظر گرفتن ضریب بهره‌وری 13 تا 98 درصد، که بستگی به نوع خاک و میزان چسبندگی آن و مقدار نفوذ آب و میزان تجربه کارکنان دارد، مقدار نرخ پیشروی روزانه در واحدهای آبرفتی برابر با 5/83 تا 18/85 متر در روز خواهد بود. در عمل نیز مقدار نرخ پیشروی روزانه در حدود 4-18 متر در روز به دست آورده شده است. در جدول 2 نیز نرخ نفوذ در واحدهای آبرفتی 9/1 متر بر ساعت و ضریب بهره‌وری به ترتیب 14 و 16 درصد در نظر گرفته شده است. بالا بودن ضریب بهره‌وری در واحد آبرفتی دوم به علت کسب تجربه لازم در زون آبرفتی اول است.

6- محاسبه ضرایب بهره‌وری با استفاده از روش‌های NTH و CSM و مدل ارائه شده جدید

در این قسمت با استفاده از روش‌های NTH، CSM و مدل ارائه شده جدید و تأخیرهای مطرح شده در هر یک از این روش‌ها، به تعیین ضریب بهره‌وری در هر یک از واحدهای زمین‌شناسی مسیر تونل پرداخته شد و نرخ پیشروی روزانه از حاصل ضرب نرخ نفوذ در ضریب بهره‌وری برآورد شده است که نتایج نرخ نفوذ‌های پیش‌بینی شده، نرخ نفوذ‌های واقعی تا متراژ 4248، ضرایب بهره‌وری و نرخ پیشروی‌های روزانه پیش‌بینی شده مسیر تونل در جدول 2 آورده شده است.

با استفاده از ضرایب بهره‌وری و نرخ پیشروی‌های روزانه برآورد شده در جدول 2 و با در نظر گرفتن 688 روز کاری در سال (هر روز کاری شامل 6 شیفت 5 ساعته است که در روزهای جمعه بصورت یک در میان 9 شیفت کاری تعطیل است و در یک شیفت حفاری انجام می‌شود و در هفته در 9 شیفت کاری نیز عملیات تعمیر و نگهداری دستگاه طبق مدارک و کاتالوگ سازنده دستگاه TBM صورت می‌پذیرد. به عبارتی در هر 9 هفته در 3 شیفت و در هر سال در 123 شیفت عملیات حفاری صورت نمی‌گیرد. مدت 16 روز یعنی 66 شیفت نیز بهمنظور چند روز اول تعطیلات در عید نوروز، برخی از تعطیلات رسمی کشور و بازدیدهایی که در طول سال

که D₀ و S₀ به ترتیب قطر و فاصله بین ابزار برشی بر حسب میلی‌متر می‌باشند.

نرخ نفوذ پایه⁷ (i₀): بعد از بدست آوردن پارامترهای ذکر شده در بالا حال می‌توان i₀ یعنی نرخ نفوذ پایه بر حسب میلی‌متر بازای هر دور چرخش را از رابطه 16 محاسبه کرد[6]. برای K_{eq} < 3.5 داریم:

$$i_0 = F \times K_{eq}^G \quad (16)$$

$$F = 0.0015 M_{eq}^{1.5} \quad (14)$$

$$G = 30 K_{eq}^{-0.5} \times M_{eq}^{-0.8} \quad (12)$$

$$i_0 = 0.03 M_{eq} \times K_{eq}^{0.18} \quad (13)$$

برای K_{eq} > 3.5 نیز می‌توان از رابطه تقریبی 13 استفاده کرد.

نرخ نفوذ خالص⁸ (I): نرخ نفوذ خالص تابعی از نفوذ پایه و سرعت چرخش کاترهد است[4].

$$I = i_0 \times rpm \times (60 / 1000) \quad (m / hr) \quad (14)$$

rpm: سرعت چرخش کاترهد بر حسب دور بر دقیقه

8-8- محاسبه نرخ نفوذ در واحدهای مختلف زمین‌شناسی قطعه 8 مسیر تونل

نرخ نفوذ‌های پیش‌بینی شده برای هر یک از واحدهای مسیر، با استفاده از روش NTH در جدول 2 آورده شده است[6] و [2]. نرخ نفوذ‌های واقعی بدست آمده در 18 واحد زمین‌شناسی ابتدای مسیر تونل که حفاری آن به اتمام رسیده است نیز در جدول 2 نشان داده شده است[9]. نتایج حاکی از این مطلب است که نرخ نفوذ‌های پیش‌بینی شده با استفاده از روش NTH تطابق خوبی با واقعیت دارد و نتایج آن مورد اطمینان است.

لازم به ذکر است که در طولی از مسیر تونل که از مناطق آبرفتی عبور می‌کند روش‌های CSM و NTH قادر به پیش‌بینی نرخ نفوذ نمی‌باشند زیرا Q (شاخص کیفیت توده سنگ) و درزه و ناپیوستگی برای این مناطق تعریف نمی‌شود، در نتیجه برای محاسبه نرخ نفوذ در این مناطق به صورت زیر عمل شده است.

$$T_m = (1 / 3.03) \times 1650 \times 0.067 = 36.5 \text{ hr}$$

تأخيرات ناشی از عملیات نقشه برداری طبق رابطه ۴:

$$T_{Survey\ Delay} = 0.0033 \times 1650 = 5.45 \text{ hr}$$

تأخير ناشی از سیستم تراپری با توجه به اینکه قبل از شروع به حفاری واحد ML سوئیچ کالیفرنیا در تونل نصب شده است.

$$T_t = 0.035 \times 1650 = 57.75 \text{ hr}$$

تأخير ناشی از تراوش آب طبق روش CSM:

$$T_w = 0.085 \times 1650 = 140.25 \text{ hr}$$

تأخيرات ناشی از خدمات رسانی طبق رابطه (۵):

$$T_{Utility\ delays} = (0.030 + 0.0013 \times 0.0750) \times 1650 = 49.66 \text{ hr}$$

تأخيرات کارگری مثلاً تأخیر ناشی از تعویض شیفت و زمان نهار طبق روش CSM

$$T_s = (1 / 3.03) \times 1650 \times 0.02 \times 8 = 87.16 \text{ hr}$$

تأخيرهای ناشی از جلو راندن ماشین که این تأخیر در مورد دستگاههای Double Shield مطرح است.
زمان کل تأخیرهای بدست آورده شده برابر است با:

$$T_{Delays} = 48.45 + 99 + 57.75 + 486.5 + 721.3 + 36.5 + 5.45 + 57.75 + 140.25 + 49.66 + 87.16 = 1789.77 \text{ hr}$$

در نتیجه بهره وری برابر خواهد بود با:

$$u = \frac{544.75}{544.75 + 1789.77} \times 100 = 23 - 1 = 22\%$$

۱ درصد از ضریب بهرهوری به خاطر منفی بودن شبیه تونل و مشکلات ناشی از آن کاسته شده است.

بعد از پیش‌بینی ضرایب بهرهوری و نرخ پیشروی‌های روزانه توسط روش‌های NTH و CSM و روش جدید، برای مشخص شدن این که نتایج کدامیک از این روش‌ها دقیق‌تر است لازم است که مقدارهای برآورده شده با مقدارهای واقعی مقایسه گردد.

توسط مقامات رسمی کشور صورت می‌پذیرد در نظر گرفته شده است. بنابراین در طول سال در ۱۶۲ شیفت (۳۲ روز) عملیات حفاری صورت نمی‌گیرد) زمان لازم برای حفاری ۳۴۴۱ متر باقیمانده مسیر تونل و متوسط ضریب بهرهوری مطابق جدول ۳ پیش‌بینی شده است.

درصد هر یک از تأخیرها در حالت در نظر گرفتن ترکیبی تأخیرهای روش NTH و تأخیرهای متفرقه لحاظ شده در روش CSM (مدل ارائه شده جدید) در واحد زمین شناسی ML در شکل ۴ نشان داده شده و طریقه محاسبات نیز در واحد مربوطه در ادامه آورده شده است.

نرخ نفوذ محاسبه شده در واحد ML ، 6/86 متر بر ساعت طبق روش NTH بدست آورده شده است.

زمان حفاری و تأخیرات لحاظ شده در واحد ML به طول 1328 متر به صورت زیر می‌باشد:

زمان حفاری:

$$T_b = (1 / 3.03) \times 1650 = 544.75 \text{ hr}$$

زمان مورد نیاز جهت تعویض برش‌دهنده‌ها می‌تواند طبق روش NTH و یا CSM به صورت زیر محاسبه گردد. H_h متوسط عمر حلقه ابزار برشی می‌باشد که با استفاده از روش NTH بدست آورده می‌شود و از ذکر جزئیات آن در این تحقیق صرف‌نظر شده است.

$$T_c = \frac{1000 \cdot t_c}{60 \cdot H_h \cdot I} = \frac{1000 \times 55}{60 \times 10.31 \times 3.03} \times 1.650 = 48.45 \text{ hr}$$

$$T_c = 0.03 \times 1650 = 49.5 \text{ hr}$$

طبق شکل ۹ با توجه به اینکه نرخ نفوذ محاسبه شده 6/86 می‌باشد در نتیجه $T_{TBM} = 60$ و $T_{back} = 35$ بدست می‌آید که به صورت زیر زمان تأخیر ناشی از تعمیر و نگهداری و سرویس‌دهی TBM (T_{TBM}) و تجهیزات back-up (T_{back}) بدست می‌آید.

$$T_{TBM} = 60 / 1000 \times 1650 = 99 \text{ hr}$$

$$T_{back} = 35 / 1000 \times 1650 = 57.75 \text{ hr}$$

تأخير ناشی از نصب پوشش:

$$T_l = (1650 / 1.3) \times (23 / 60) = 486.5 \text{ hr}$$

تأخير ناشی از کسب تجربه طبق روش CSM

$$T_e = (1 / 3.03) \times 1650 \times 1.324 = 721.3 \text{ hr}$$

تأخير ناشی از تعمیرات، بررسی کاترهد و روغن‌کاری طبق CSM روش

جدول ۵: نرخ نفوذ، ضریب بهرهوری و نرخ پیشروی روزانه پیش‌بینی شده در هر یک از واحدهای زمین‌شناسی با استفاده از روش‌های NTH و CSM و مدل ارائه شده حدید [3]

نام واحد زمین شناسی		نمودار نتایج واقعی		نمودار نتایج نفوذ							
نام روزانه (m/day)	نرخ پیشروی روزانه (%)	نام روزانه (m/day)	نرخ پیشروی روزانه (%)	نام روزانه (m/day)	نرخ پیشروی روزانه (%)	نام روزانه (m/day)	نرخ پیشروی روزانه (%)	نام روزانه (m/day)	نرخ پیشروی روزانه (%)	نام روزانه (m/day)	نرخ پیشروی روزانه (%)
12/86	92	15/68	69	94/94	48	9/36	9/28	8 -628	An		
19/41	15	13/16	94	93/93	65	9/94	9/53	628 -588	GSch1		
18/86	14	16/42	16	94/84	64	9/61	6/86	588 -616	GSch2		
5/24	14	5/24	14	5/24	14	1/5	9/18	616 -1688	all		
13/84	96	98/61	96	93/43	64	9/65	9/64	1688 -9688	GSch3		
6/25	16	6/25	16	6/25	16	1/62	9/18	9688 -6188	all		
12/63	96	16/48	95	93/95	64	9/29	9/64	6188 -6928	GSch4		
13/82	96	16/38	95	93/49	64	9/44	9/64	6928 -6288	GSch5		
12/63	96	16/48	95	93/95	64	9/34	9/64	6288 -6328	GSch4		
14/64	96	15/44	96	94/58	65	9/33	9/48	6328 -4328	MQ		
13/66	99	14/59	92	93/56	64	حفاری نشده است	6/86	4328 -3688	ML		
6/51	14	16/96	98	93/11	65	حفاری نشده است	9/54	3688 -3488	GSch6		
11/98	19	12/55	14	61/84	69	حفاری نشده است	4/81	3488 -4428	GSch7		
13/96	94	14/64	99	92/46	66	حفاری نشده است	9/45	4428 -5488	GSch8		
13/16	99	16/54	95	93/31	64	حفاری نشده است	6/81	5488 -6288	Sh3		
16/23	98	94/24	93	61/13	69	حفاری نشده است	4/81	6288 -6688	Qla		
14/65	91	99/42	94	96/86	64	حفاری نشده است	6/26	6688 -18388	Shc		
13/16	99	16/54	95	93/31	64	حفاری نشده است	6/81	18388 -18553	Sh3		
98/64	98	92/95	92	69/61	61	حفاری نشده است	4/68	18553 -11844	MDL 4		
6/54	14	16/45	98	93/93	65	حفاری نشده است	9/55	11844 -11611	AS1		

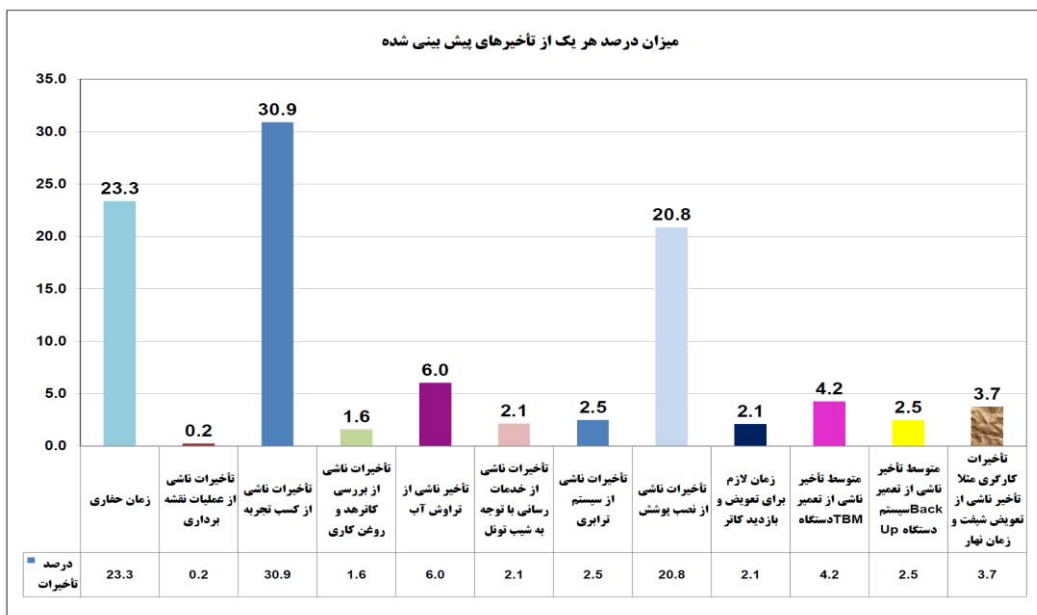
جدول 6: متوسط ضریب بهرهوری و زمان لازم پیش‌بینی شده برای حفاری 88388 متر و 6748 متر باقیمانده مسیر تونل با استفاده از روش‌های CSM و NTH و مدل ارائه شده جدید

مدت زمان لازم برای حفاری 3441 متر باقیمانده تونل (ماه)	متosط بهرهوری برای 3441 متر باقیمانده تونل (%)	مدت زمان لازم برای حفاری 11611 متر (ماه)	متosط بهرهوری برای 11611 متر (%)	
18	62/56	96	64/24	با در نظر گرفتن تأخیرهای روش NTH
14	96/44	68	94/1	با در نظر گرفتن تأخیرهای روش CSM
15	16/34	62	16/46	مدل ارائه شده جدید

تعداد سگمنت‌های نصب شده در ابتدای مسیر تونل کم بوده است، بنابراین امکان اعمال نیروی عمودی¹² کافی وجود نداشت (منظور از نیروی تراست نیرویی است که جکهای تراست دستگاه که تعداد آنها 18 جفت است بر سگمنت‌های نصب شده در مسیر تونل اعمال می‌کند تا امکان جلو بردن کاترهد دستگاه و انجام حفاری لازم صورت پذیرد)، از طرفی تجربه حفاری نیز در ابتدای مسیر پایین بوده است و در نتیجه نرخ پیشروی کاهش پیدا کرده است.

7- نتایج واقعی حاصل از حفاری TBM در تونل قمرود

ماشین حفاری مکانیزه تونل قمرود تا تاریخ 3/3/55 تا متریاز 4248/49 پیشروی داشته که متوسط نرخ پیشروی روزانه TBM و بهرهوری آن در این واحدهای زمین‌شناسی و نتایج پیش‌بینی بوسیله روش‌های مختلف در جدول 4 و شکل 5 و شکل 6 آورده شده است. لازم به ذکر است که در واحد An از آنجایی که در ابتدای مسیر تونل قرار داشت و

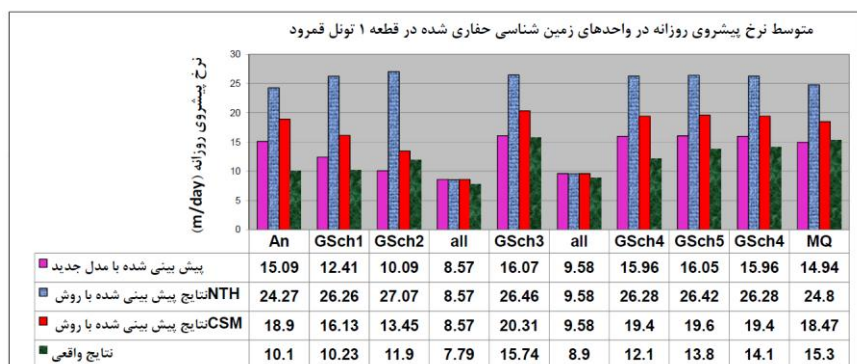


شکل 7: درصد هر یک از تأثیرها در مدل ارائه شده جدید در واحد ML [3]

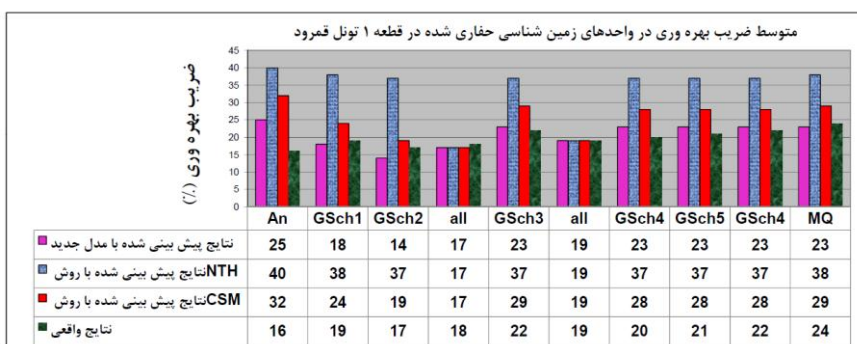
جدول 7: متوسط نرخ پیشروی روزانه و ضریب بهرهوری واقعی و پیش‌بینی شده در مسیر تونل قمرود (قطعه 8) [2] و [3]

مسیر	واحد زمین‌شناسی	متوسط نرخ پیشروی (m/day)	متوسط ضریب بهرهوری (%)	روش CSM	روش NTH	روش	مدل ارائه شده جدید	داده‌های واقعی		
									روزانه	روزانه
An		8 -628	18/1	12/86	92	48	94/94	92	13	15/68
GSch1		628 -588	18/96	19/41	15	65	93/93	15	16	13/16
GSch2		588 -616	11/6	18/86	14	64	94/84	14	14	16/42
all		616 -1688	4/46	5/24	14	14	5/24	14	15	5/24
GSch3		1688 -9688	12/44	13/84	96	64	93/43	96	99	98/61
all		9688 -6188	5/6	6/25	16	16	6/25	16	16	6/25
GSch4		6188 -6928	19/1	12/63	98	64	93/95	96	98	16/48
GSch5		6928 -6288	16/5	13/82	91	64	93/49	96	91	16/38
GSch4		6288 -6328	14/1	12/63	99	64	93/95	96	99	16/48

96	15/44	65	94/58	96	14/64	94	12/6	6328-4328	MQ
----	-------	----	-------	----	-------	----	------	-----------	----



شکل 8: مقایسه نتایج پیش‌بینی نرخ پیشروی TBM با داده‌های واقعی [2] و [3]



شکل 9: مقایسه نتایج پیش‌بینی ضریب بهره‌وری TBM با داده‌های واقعی [2] و [3]

15-16 درصد بوده است بنابراین در اینجا می‌توان گفت که مدل ارائه شده جدید بسیار دقیق‌تر است. بنابراین می‌توان تخمین زد که حفاری تونل در طی مدت 1 سال و 3 ماه دیگر به پایان خواهد رسید.

پیشنهاد می‌گردد که بهمنظور تخمین نرخ نفوذ دستگاه‌های TBM از روش NTH استفاده گردد زیرا طبق جدول 2 و جدول 5 تطابق خوبی با واقعیت دارد و برای تخمین ضریب بهره‌وری و پیش‌بینی عملکرد TBM و در نهایت تخمین زمان اتمام حفاری از مدل ارائه شده در این مقاله استفاده گردد. زیرا روش NTH بسیاری از تأخیرها از جمله نصب سیستم نگهداری و بسیاری تأخیرهای متفرقه توضیح داده شده را در نظر نمی‌گیرد در نتیجه راندمان و نرخ پیشروی بالایی را پیش‌بینی می‌کند. ضمن اینکه روش CSM نیز برخی از تأخیرها از جمله تعمیرات دستگاه TBM و قسمت Back Up آنرا در نظر نمی‌گیرد که زمان قابل توجهی را در پروژه‌های حفاری با TBM به خود اختصاص می‌دهد و ضمناً زمان در نظر گرفته شده بهمنظور نصب سیستم نگهداری (سگمنت) با استفاده از این روش در مورد دستگاه‌های تک سپره که سیکل کاری آنها بهصورت ناپیوسته است بسیار

8- نتیجه گیری

- طبق جدول 5 با مقایسه نتایج واقعی بهدست آمده از نرخ نفوذ، ضرایب بهره‌وری و نرخ پیشروی‌های روزانه با مقدارهای پیش‌بینی شده در توسط 6 روش مشاهده می‌شود که در حالت در نظر گرفتن تأخیرهای متفرقه با استفاده از روش CSM به همراه تأخیرهای روش NTH ضرایب بهره‌وری دقیق‌تر محاسبه شده و در نتیجه نرخ پیشروی روزانه پیش‌بینی شده به واقعیت بسیار نزدیک‌تر می‌شود.
- روش CSM نسبت به روش NTH به طور کامل تر و با دقت بیشتری به پیش‌بینی تأخیرهای متفرقه در محاسبه ضریب بهره‌وری پرداخته است. به طوریکه هنگامی که برای محاسبه ضریب بهره‌وری از ترکیب تأخیرهای روش NTH و CSM استفاده می‌کنیم، متوسط ضریب بهره‌وری حدوداً 16/46 درصد بدست استفاده از روش‌های NTH و CSM متوسط ضریب بهره‌وری حدوداً 94/1 و 64/24 درصد می‌شود. نظر به اینکه در پروژه‌های مشابه به علت تأخیرهای پیش‌آمده به اینکه در پروژه‌های دستگاه، متوسط ضریب بهره‌وری در عمل برابر با 14-12 درصد برآورد گردیده است و در تونل قمرود نیز

پایین است در صورتی که در واقعیت زمانی چندین برابر زمان در نظر گرفته شده صرف انجام این کار می‌شود.

جدول 8: متوسط زمان‌های حفاری، سگمنت گذاری و تأخیرات در هفته‌های مختلف در زون زمین‌شناسی (3650-4650) [2] و [3]

عملکرد حفاری پروژه در قمرود - قطعه 1

متوجه زمان‌های حفاری، سگمنت گذاری و تأخیرات در هفته‌های مختلف در زون زمین‌شناسی (3650-4650)												
درصد حفاری، سگمنت گذاری و هر یک از تأخیرات بصورت پیش‌بینی شده با استفاده از CSM روش	درصد حفاری، سگمنت گذاری و هر یک از تأخیرات بصورت پیش‌بینی شده با استفاده از NTH روش	درصد حفاری، سگمنت گذاری و هر یک از تأخیرات بصورت واقعی	میانگین زمان حفاری و هر یک از تأخیرات بصورت واقعی	عملکرد حفاری پروژه در قمرود - قطعه 1								
				۹	۸	۷	۶	۵	۴	۳	۲	۱
۹۰.۴	۷۷.۴	۱۰۸	۶۹.۷	۱۱۸	۹۲.۹	۱۲۷	۱۱۶	۹۹.۵				
۱۲.۹	۱۲.۹	۱۵.۵	۱۱.۶	۱۶.۸	۱۵.۵	۱۸.۱	۱۹.۴	۱۴.۲				
۲.۲	۲.۷	۲.۴	۲.۹	۲.۲	۲.۸	۳.۰	۲.۸	۲.۸				
۱۰۰.۰	۸۶.۰	۱۰۰.۰	۸۶.۰	۱۰۰.۰	۸۶.۰	۱۰۰.۰	۸۶.۰	۱۰۰.۰	۸۶.۰	۱۰۰.۰	۸۶.۰	۸۶.۰
۲۹	۳۸	۲۳	۲۴.۲	۲۲۸۵	۲۴۱۵	۱۷۱۰	۲۷۲۰	۱۴۲۰	۳۱۵۰	۱۹۸۰	۲۵۲۰	۲۵۲۰
۷۱	۶۲	۷۷	۷۵.۸	۷۱۵۵	۷۶۶۵	۵۹۳۰	۷۳۵۰	۷۲۰۰	۶۹۳۰	۶۶۶۰	۷۵۶۰	۶۱۲۰
۲۰	۲۷.۸	۱۷	۲۰.۹	۱۹۷۷	۱۹۹۵	۱۳۵۰	۲۲۱۰	۱۴۴۰	۲۸۷۰	۱۸۶۰	۲۳۱۰	۱۹۸۰
۴	-	۳.۴	۴.۵	۴۲۹	۳۸۵	۳۹	۳۸۵	۵۴۰	۵۲۵	۳۳۰	۵۵۰	۳۶۰
۰.۷۶	-	۰.۷	۱.۱	۹۹	۱۲۰	۱۲۰	۱۴۰	۹۰	۷۰	۹۰	۷۰	۰
۷.۱	۶.۲	۳.۷	۳.۲	۳۰۴	۳۱۵	۲۷۰	۱۶۰	۳۲۰	۲۴۵	۳۹۰	۳۱۵	۴۲۰
-	۱۲.۴	۷.۵	۲۷.۹	۲۶۲۴	۲۲۲۵	۲۲۱۰	۲۲۲۵	۲۱۵۰	۱۴۲۵	۲۲۰	۲۲۰	۳۴۴۵
۲۵.۱	-	۲۷.۱										
۵	-	۴.۵	۴.۱	۳۸۴	۳۸۵	۴۵۰	۳۸۵	۴۵۰	۲۴۵	۳۶۰	۵۲۵	۷۰
۱۲	-	۹.۴	۱۰.۲	۹۶۷	۷۲۵	۷۸۰	۳۱۵	۸۴۰	۱۱۹۰	۱۰۸۰	۱۵۷۵	۵۱۰
۵	-	۳.۷	۳.۸	۳۶۰	۳۸۵	۳۶۰	۳۵۰	۳۶۰	۳۵۰	۳۳۰	۴۵۵	۳۰۰
-	۱۵۵	-	-									
۲۹	۳۸	۲۳	۲۴	مقایسه راندمان واقعی با مقادیر ای پیش‌بینی شده	۲۴	۲۰	۲۷	۱۷	۲۱	۲۳	۲۵	۲۹
۱۸.۵	۲۴.۸	۱۴.۹	۱۵.۳	مقایسه نرخ پیشروعی واقعی با مقدار ای پیش‌بینی شده	۲۱							
راندمان حفاری در هفته (%)												

منابع

- [7] Nelson, 1997, *Tunnel Boring Machine Performance Concepts and Performance Prediction*, www.Sciedirect.Com
- [8] Carroll, J. O., 2004, *EPB Tunneling*, Parsons Brinckerhoff Co. Spatial Publication.
- [9] Palmstrom, A., 1995, *RMi Parameters Applied In Prediction of Tunnel Boring Penetration*, A Rock Mass Characterization System For Rock Engineering Purposes, PhD Thesis, Oslo University, Norway.
- پی‌نوشت
-
- ¹ Single Shield
² Double Shield
³ Drilling Rate Index
⁴ Fracturing Factor
⁵ Equivalent Fracturing Factor
⁶ Cutter Thrust
⁷ Basic Pene⁷ Cutter Thrust
tration Rate
⁸ Net Penetration Rate
⁹ Close mode
¹⁰ Semi-closed mode
¹¹ Torque
- [1] گزارشات زمین‌شناسی و مکانیک سنگی قطعه 8 تونل انتقال آب قمرود, شرکت مهندسی ساپیر, 1654.
- [2] گزارشات حفاری مکانیزه قطعه 8 تونل انتقال آب قمرود, شرکت مهندسی ساپیر, 1654-1655.
- [3] گزارشات زمین‌شناسی و مکانیک سنگی قطعات 8 و 2 تونل انتقال آب دز-قمرود, پایان‌نامه کارشناسی ارشد, دانشکده مهندسی معدن و ژئوفیزیک, دانشگاه صنعتی شاهرود.
- [4] ITA / AITES Working Group No. 14, 2000, *Recommendations and Guidelines for Tunnel Boring Machines (TBM)*, www.ita-aites.org, pp.1-118.
- [5] Bruland, A., 1998, *Hard Rock Tunnel Boring, Doctoral Thesis*, Norwegian University of Science and Technology, Trondheim.
- [6] شریعت علوی, حسین, 1654, پیش‌بینی عملکرد TBM قطعات 8 و 2 تونل انتقال آب دز-قمرود, پایان‌نامه کارشناسی ارشد, دانشکده مهندسی معدن و ژئوفیزیک, دانشگاه صنعتی شاهرود.
- [7] Bruland, A., 2002, *Prediction Model For Performance and Costs*, The Norwegian University of Science and Technology.

¹² Thrust Force